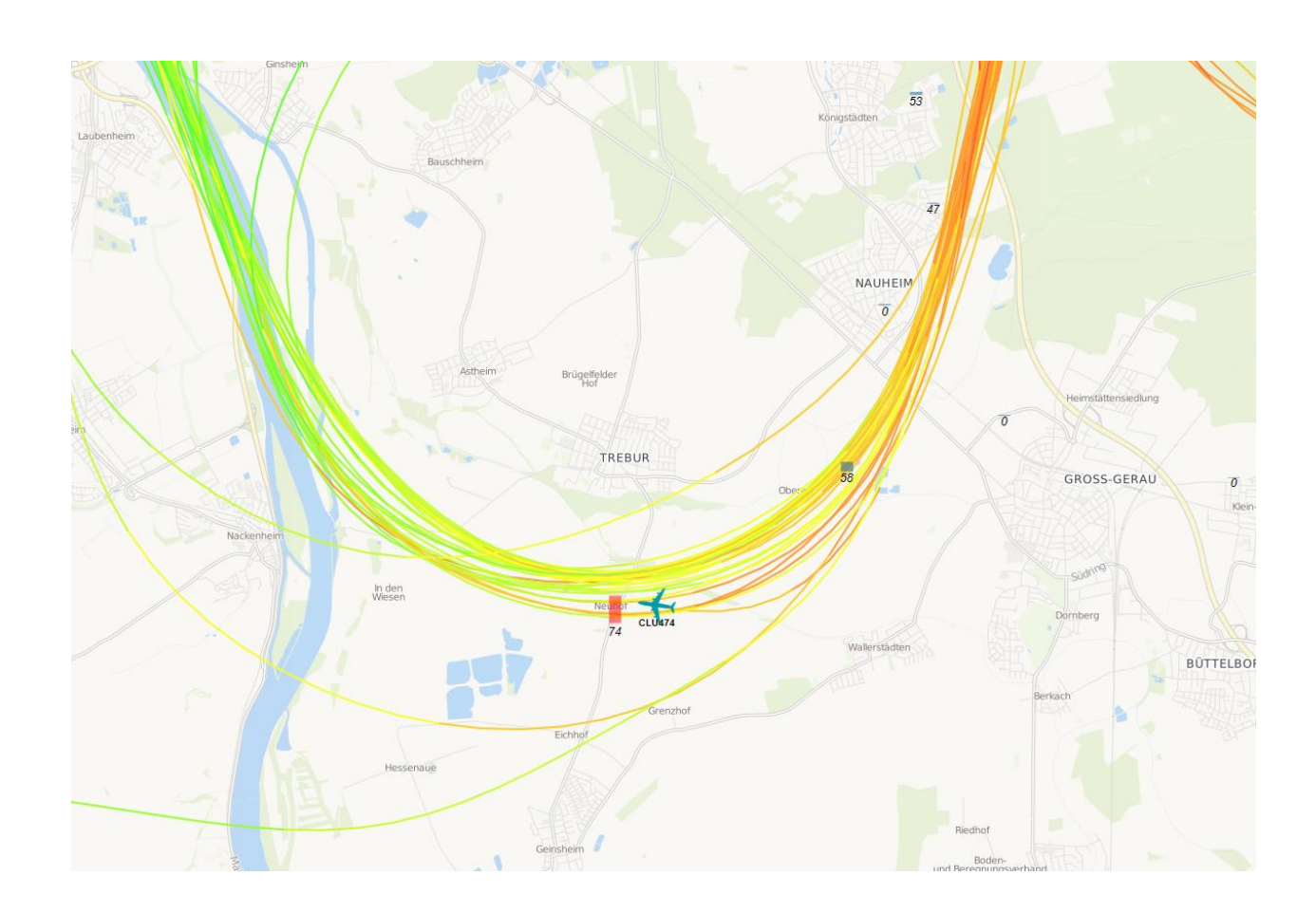


Auswertung der Überflüge sowie der Fluggeräuschmessdaten des MP-205 in Trebur

Berichtszeitraum: April 2023 - Juni 2023 | Stand 07.07.2023



Inhalt

1	Einführung	4
1.1	Messsystem deBAKOM	4
1.2	Erläuterung der verschiedenen Pegel (Abkürzungen)	4
1.3	Standort der Messstation	5
2	Überflughöhen	7
2.1	Auswertungsmethode und Erfassungsrate	7
2.2	Bahnnutzung bzgl. Starts	9
2.3	Ausfallzeiten	9
2.4	Abflughöhen bei Betriebsrichtung 18 und 25	11
2.5	Anflughöhen bei Betriebsrichtung 07	12
3	Fluggeräuschereignisse	15
4	Fluggeräuschpegel	16
4.1	Maximalpegelverteilung	16
4.2	Leq- und NAT-Auswertung	18
4.3	Jahresübersicht 2023	21

Anlagen

Anlage 1: Geräuschklassifikation der Firma deBAKOM

Abbildungsverzeichnis

Abb. 1: Standort der Messstation MP-205 (Quelle: Google Maps)	5
Abb. 2: BR18 & BR25 - Identifizierte Abflüge im Juni 2023, Vorderansicht (Quelle: Bing Maps)	7
Abb. 3: BR18 & BR25 - Identifizierte Abflüge im Juni 2023, Draufsicht (Quelle: Bing Maps)	8
Abb. 4: BR07 – Identifizierte Anflüge im Juni 2023, Vorderansicht (Quelle: Bing Maps)	8
Abb. 5: BR07 – Identifizierte Anflüge im Juni 2023, Draufsicht (Quelle: Bing Maps)	9
Abb. 6: Boxplots - Abflughöhen bei Betriebsrichtung 18 und 25	. 12
Abb. 7: Boxplots - Anflughöhen bei Betriebsrichtung 07	. 13
Abb. 8: Anzahl Fluggeräuschereignisse (Tag und Nacht)	. 15
Abb. 9: Maximalpegelverteilung am Tag (Fluggeräusch)	. 16
Abb. 10: Maximalpegelverteilung in der Nacht (Fluggeräusch)	. 17
Abb. 11: L _{DIN} Tag und Nacht	.18
Abb. 12: NAT68 und NAT72	.19
Abb. 13: L _{eq} Tag und Nacht	. 19
Abb. 14: L ₉₅ Tag und Nacht	20

1 Einführung

1.1 Messsystem deBAKOM

Wesentliche Komponenten des Messsystems sind eine wetterfeste und beheizte Mikrofoneinheit (Klasse 1 Mikrofon) mit Windschirm, eine Wetterstation sowie ein Messrechner. Bei Windgeschwindigkeiten im Mittel > 5 m/s werden alle Geräusche ausgeblendet, um die Erfassung von Störgeräuschen zu verhindern. Die Daten werden im Messrechner erfasst und stündlich an das Umwelt- und Nachbarschaftshaus (UNH) übertragen.

Für die Geräuschauswertung wird eine spezielle Software eingesetzt, die eine 2-stufige Erkennung durchführt: 1. Stufe ist die Erkennung auf Grund physikalischer Parameter nach DIN 45643 (Messung und Beurteilung von Fluggeräuschen) d.h. der Schallpegel eines Fluggeräuschereignisses muss z.B. einen Messschwellenpegel um mindestens einen bestimmten Betrag übersteigen; 2. Stufe ist eine detaillierte Erkennung anhand einer Korrelationsanalyse mit Musterspektren (s. Anlage). Diese werden mit Hilfe von Audioaufzeichnungen aus für den Messort typischen Fluggeräuschereignissen erstellt. Als 3. Stufe werden die erkannten Fluggeräuschereignisse mit den FANOMOS-Daten (Radarspuren) der Deutschen Flugsicherung (DFS) korreliert. Falls diese Prüfkriterien alle zueinander passen, wird das Ereignis als Fluggeräuschereignis deklariert und fließt in die Fluggeräuschauswertung ein.

1.2 Erläuterung der verschiedenen Pegel (Abkürzungen)

 $L_{DIN,T}$ = Fluggeräusch L_{eq} (nach DIN 45643 vom Februar 2011) (Tag 06:00 - 22:00 Uhr).

 $L_{DIN,N}$ = Fluggeräusch L_{eq} (nach DIN 45643 vom Februar 2011) (Nacht 22:00 - 06:00 Uhr).

 $L_{eq,T}$ = L_{eq} aller Geräusche (Tag 06:00 - 22:00 Uhr).

 $L_{eq,N} = L_{eq}$ aller Geräusche (Nacht 22:00 - 06:00 Uhr).

L_{95,T} = L_{eq} aller Geräusche der zu 95% der Beurteilungszeit überschritten ist (Tag 06:00 - 22:00 Uhr).

 $L_{95,N}$ = L_{eq} aller Geräusche der zu 95% der Beurteilungszeit überschritten ist (Nacht 22:00 - 06:00 Uhr).

NAT68 = Anzahl der Fluggeräuschereignisse die 68 dB(A) überschreiten (Nacht 22:00 - 06:00 Uhr).

NAT72 = Anzahl der Fluggeräuschereignisse die 72 dB(A) überschreiten (Nacht 22:00 - 06:00 Uhr).

1.3 Standort der Messstation

Die Messstation auf dem Gut Berlenhof in Trebur Außerhalb wurde am 5. März 2012 in Betrieb genommen. Die Koordinaten des Standortes (MP-205) lauten: 32 U 457592; 5528610 [UTM]. Die Messhöhe des Mikrofons beträgt 4 m über dem Dach des Hauses (ca. 10 m ü. Grund).

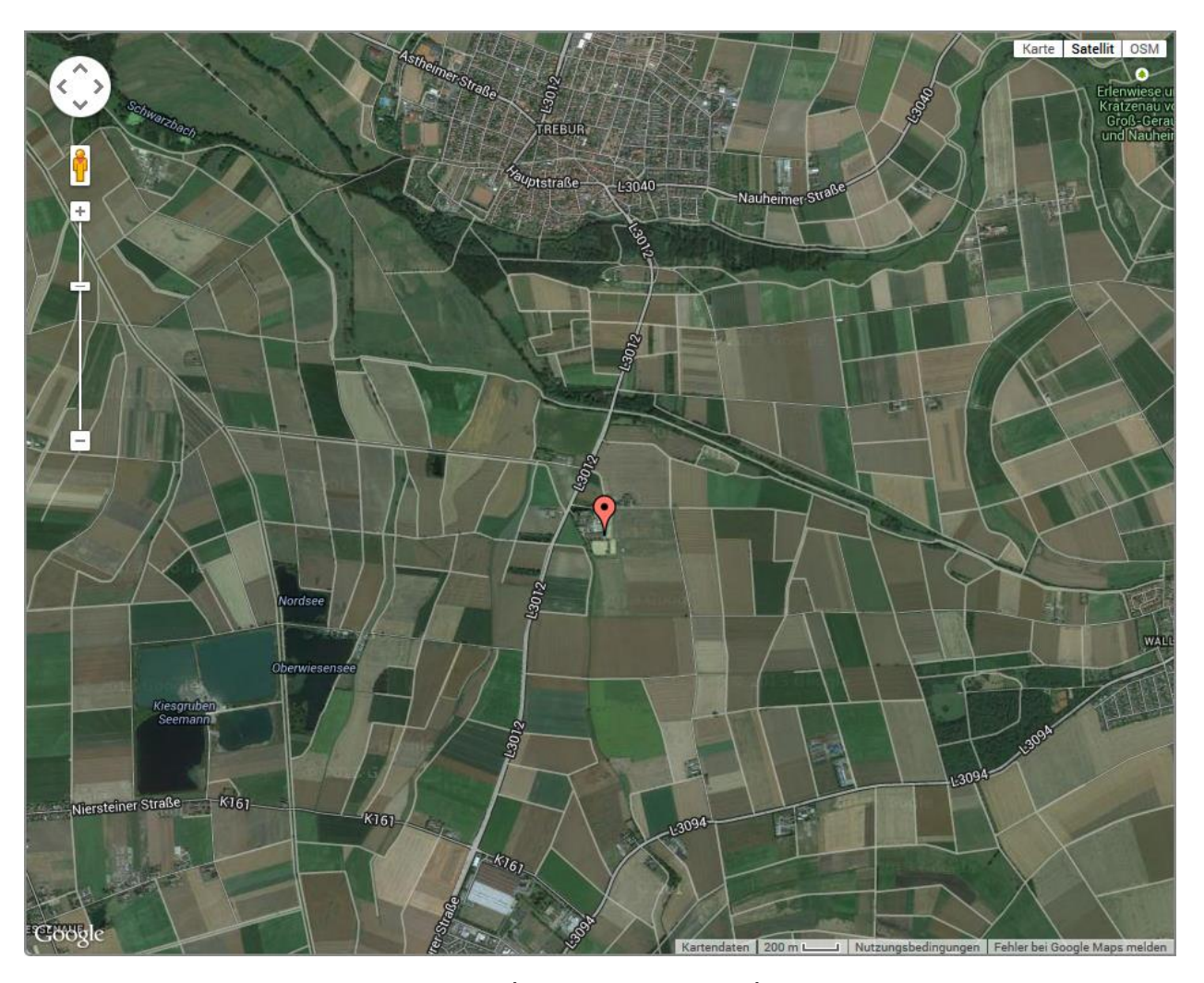


Abb. 1: Standort der Messstation MP-205 (Quelle: Google Maps)

Diese Auswertung umfasst Daten vom 1. April 2023 bis zum 30. Juni 2023.

Auswertung der Überflüge über Trebur



2 Überflughöhen

2.1 Auswertungsmethode und Erfassungsrate

Die Auswertebereiche für die Überflüge über dem MP-205 haben folgende Ausdehnungsmaße:

- Abflüge (BR18 & BR25): Breite jeweils 1852 m (1 NM) rechts und links der Station; die Auswertungshöhe beträgt maximal 4500 m über NN (MSL), die Ausrichtung des Tors beträgt 270°.
- Anflüge (BR07): Breite jeweils 1852 m (1 NM) links und rechts der Station; die Auswertungshöhe beträgt maximal 4500 m über NN (MSL), die Ausrichtung des Tors beträgt 250°.

	Anzahl der Flüge durch die o.g. Tore	Anzahl der erfassten Fluggeräuschereignisse	Prozentualer Anteil der erfassten Fluggeräuschereignisse
Abflüge (BR18 & BR25)	3899	2460	63,09%
Anflüge (BR07)	8452	1806	21,37%

Zur Übersicht werden die Abbildungen der "Durchflugtore" im Juni 2023 für die Abflüge bei BR18 & BR25 und die Anflüge bei BR07 dargestellt. Es sind nur Flüge bis 13500 ft enthalten und die die o.g. Prüfkriterien 1 bis 3 erfüllt haben. Flüge die zu diesem Zeitpunkt höher als 13500 ft über dem Standort waren, sind in den FANOMOS-Daten, die das UNH erhält, nicht enthalten.

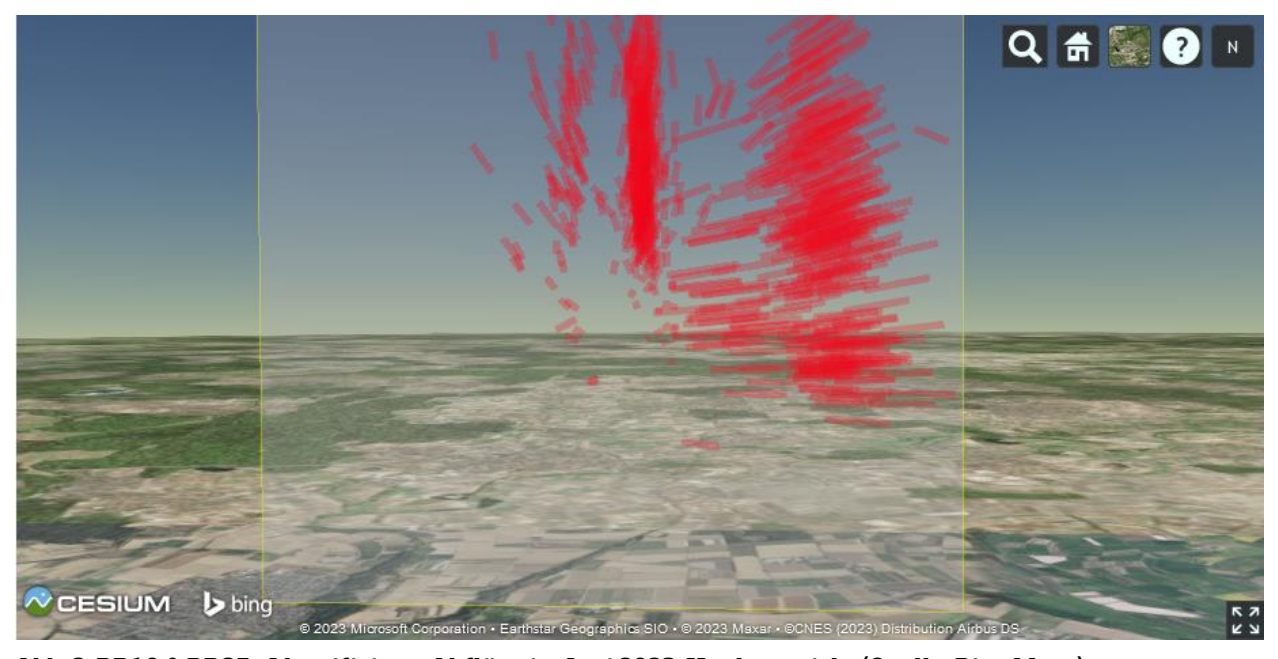


Abb. 2: BR18 & BR25 - Identifizierte Abflüge im Juni 2023, Vorderansicht (Quelle: Bing Maps)



Abb. 3: BR18 & BR25 - Identifizierte Abflüge im Juni 2023, Draufsicht (Quelle: Bing Maps)

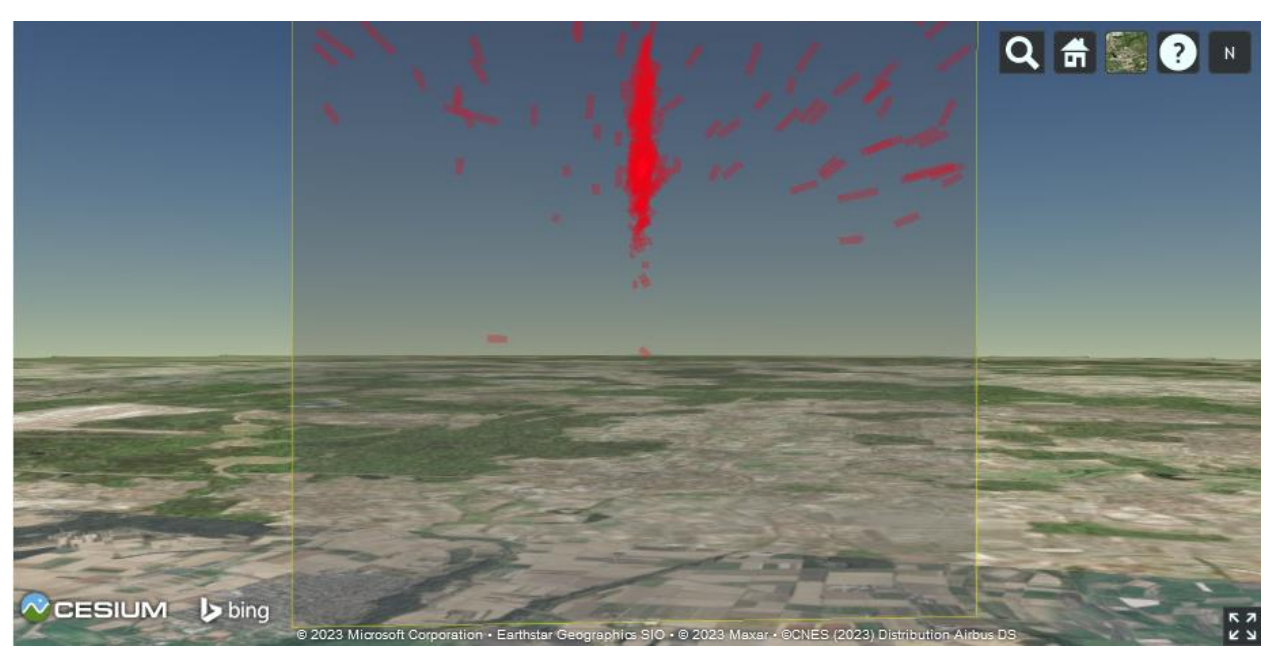


Abb. 4: BR07 – Identifizierte Anflüge im Juni 2023, Vorderansicht (Quelle: Bing Maps)

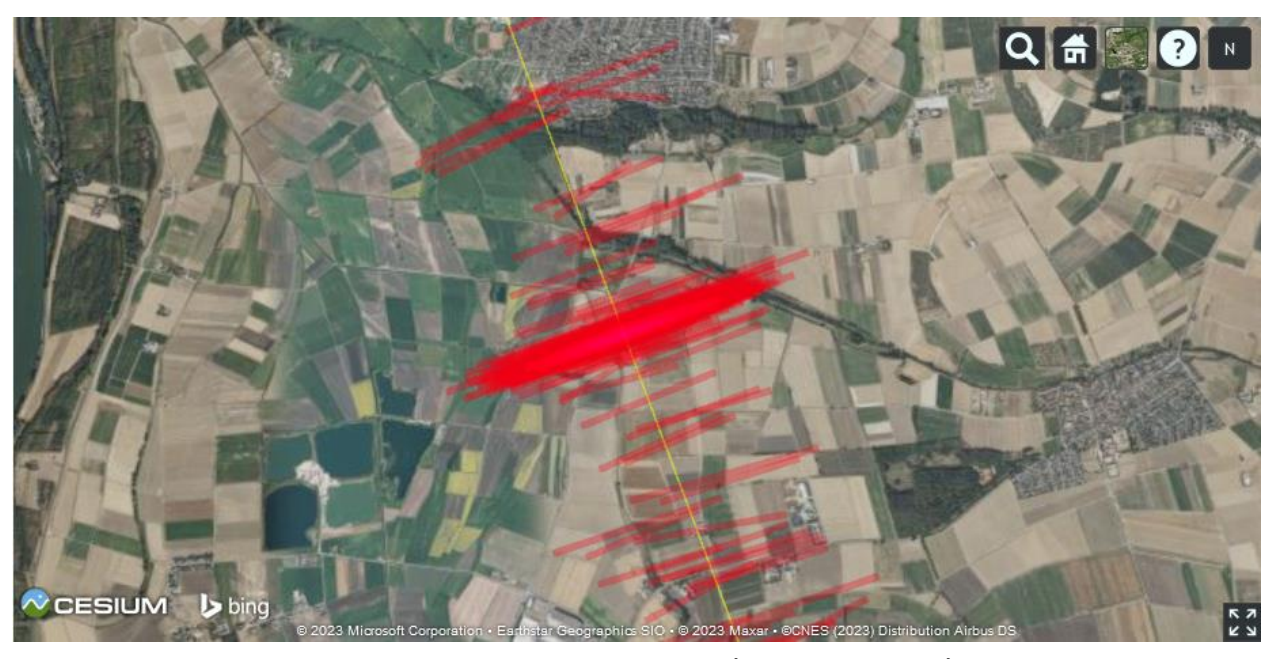


Abb. 5: BR07 – Identifizierte Anflüge im Juni 2023, Draufsicht (Quelle: Bing Maps)

2.2 Bahnnutzung bzgl. Starts

	BR	07	BR18	BR25		lonatlicher ırchschnitt		
Bahnnutzung* in [%]	RWY 07R	RWY 07C	RWY 18	RWY 25C	RWY 25L	BR07	BR18	BR25
April	0,31%	25,38%	55,70%	17,79%	0,82%	25,69%	55,70%	18,61%
Mai	2,82%	36,14%	50,90%	9,64%	0,50%	38,97%	50,90%	10,13%
Juni	0,54%	31,18%	55,17%	12,38%	0,74%	31,72%	55,17%	13,12%

^{*} Die Prozentsätze der Bahnnutzung bzgl. Starts beziehen sich auf den ganzen Monat.

2.3 Ausfallzeiten

Beginn	Ende	Ausfallzeit in Std.	Ausfallgrund
01.04.2023 00:00	01.04.2023 18:59	19 h	Windgeschwindigkeit
02.04.2023 10:00	02.04.2023 21:59	12 h	Windgeschwindigkeit
03.04.2023 08:00	03.04.2023 20:59	13 h	Windgeschwindigkeit
04.04.2023 09:00	04.04.2023 12:59	4 h	Windgeschwindigkeit
05.04.2023 17:00	05.04.2023 17:29	0,5 h	Technische Störung
06.04.2023 13:00	06.04.2023 13:24	0,42 h	Technische Störung

	1	1	
08.04.2023 11:00	08.04.2023 11:44	0,75 h	Technische Störung
09.04.2023 18:00	09.04.2023 18:39	0,67 h	Technische Störung
10.04.2023 14:00	10.04.2023 16:59	3 h	Windgeschwindigkeit
11.04.2023 07:00	11.04.2023 18:59	12 h	Windgeschwindigkeit
11.04.2023 22:00	11.04.2023 22:09	0,17 h	Technische Störung
12.04.2023 07:00	13.04.2023 15:59	33 h	Windgeschwindigkeit
15.04.2023 13:00	16.04.2023 09:59	21 h	Windgeschwindigkeit
17.04.2023 17:00	17.04.2023 17:14	0,25 h	Technische Störung
17.04.2023 09:00	17.04.2023 09:54	0,92 h	Technische Störung
17.04.2023 13:00	17.04.2023 16:59	4 h	Windgeschwindigkeit
18.04.2023 10:00	19.04.2023 20:59	35 h	Windgeschwindigkeit
20.04.2023 13:00	20.04.2023 21:59	9 h	Windgeschwindigkeit
21.04.2023 07:00	21.04.2023 07:29	0,5 h	Technische Störung
21.04.2023 12:00	21.04.2023 16:59	5 h	Windgeschwindigkeit
22.04.2023 06:00	22.04.2023 06:29	0,5 h	Technische Störung
22.04.2023 18:00	22.04.2023 18:29	0,5 h	Technische Störung
23.04.2023 16:00	23.04.2023 16:49	0,83 h	Technische Störung
24.04.2023 09:00	24.04.2023 17:59	9 h	Windgeschwindigkeit
26.04.2023 18:00	26.04.2023 19:14	1,25 h	Technische Störung
01.05.2023 21:00	01.05.2023 21:14	0,25 h	Technische Störung
02.05.2023 16:00	02.05.2023 20:59	5 h	Windgeschwindigkeit
02.05.2023 23:00	02.05.2023 23:59	1 h	Technische Störung
04.05.2023 07:00	04.05.2023 11:59	5 h	Windgeschwindigkeit
04.05.2023 15:00	04.05.2023 15:29	0,5 h	Technische Störung
07.05.2023 09:00	07.05.2023 12:59	4 h	Windgeschwindigkeit
07.05.2023 18:00	07.05.2023 18:59	1 h	Windgeschwindigkeit
12.05.2023 13:00	12.05.2023 15:59	3 h	Windgeschwindigkeit
14.05.2023 17:00	14.05.2023 17:59	1 h	Technische Störung
14.05.2023 23:00	14.05.2023 23:29	0,5 h	Technische Störung
15.05.2023 13:00	15.05.2023 17:59	5 h	Windgeschwindigkeit
16.05.2023 08:00	16.05.2023 22:59	15 h	Windgeschwindigkeit
18.05.2023 16:00	18.05.2023 16:59	1 h	Technische Störung
19.05.2023 12:00	19.05.2023 20:59	9 h	Windgeschwindigkeit
20.05.2023 14:00	20.05.2023 18:59	5 h	Windgeschwindigkeit
21.05.2023 06:00	21.05.2023 08:39	2,67 h	Technische Störung
23.05.2023 13:00	23.05.2023 20:59	8 h	Windgeschwindigkeit
24.05.2023 13:00	24.05.2023 13:49	0,83 h	Technische Störung

24.05.2023 20:00	24.05.2023 20:59	1 h	Windgeschwindigkeit
25.05.2023 05:00	25.05.2023 06:09	1,17 h	Technische Störung
25.05.2023 10:00	25.05.2023 16:59	7 h	Windgeschwindigkeit
31.05.2023 10:00	31.05.2023 17:59	8 h	Windgeschwindigkeit
31.05.2023 22:00	31.05.2023 22:29	0,5 h	Technische Störung
01.06.2023 18:00	01.06.2023 19:59	2 h	Windgeschwindigkeit
02.06.2023 17:00	02.06.2023 18:09	1,17 h	Technische Störung
03.06.2023 11:00	03.06.2023 15:59	5 h	Windgeschwindigkeit
05.06.2023 08:00	05.06.2023 08:59	1 h	Technische Störung
05.06.2023 19:00	05.06.2023 19:19	0,33 h	Technische Störung
06.06.2023 15:00	06.06.2023 19:59	5 h	Windgeschwindigkeit
07.06.2023 08:00	07.06.2023 08:29	0,5 h	Technische Störung
08.06.2023 09:00	08.06.2023 11:59	3 h	Windgeschwindigkeit
08.06.2023 17:00	08.06.2023 19:59	3 h	Windgeschwindigkeit
09.06.2023 08:00	09.06.2023 20:59	13 h	Windgeschwindigkeit
10.06.2023 11:00	10.06.2023 20:59	10 h	Windgeschwindigkeit
11.06.2023 08:00	11.06.2023 17:59	10 h	Windgeschwindigkeit
12.06.2023 08:00	12.06.2023 12:59	5 h	Windgeschwindigkeit
12.06.2023 17:00	12.06.2023 19:59	3 h	Windgeschwindigkeit
13.06.2023 09:00	13.06.2023 17:59	9 h	Windgeschwindigkeit
15.06.2023 20:00	15.06.2023 20:29	0,5 h	Technische Störung
16.06.2023 11:00	16.06.2023 11:29	0,5 h	Technische Störung
18.06.2023 17:00	18.06.2023 17:29	0,5 h	Technische Störung
19.06.2023 19:30	19.06.2023 20:59	1,5 h	Gewitter
22.06.2023 10:00	23.06.2023 16:59	31 h	Windgeschwindigkeit
23.06.2023 23:00	23.06.2023 23:39	0,67 h	Technische Störung
27.06.2023 00:00	27.06.2023 01:59	2 h	Windgeschwindigkeit
27.06.2023 17:00	27.06.2023 18:59	2 h	Windgeschwindigkeit
30.06.2023 08:00	30.06.2023 18:59	11 h	Windgeschwindigkeit

2.4 Abflughöhen bei Betriebsrichtung 18 und 25

Bei den Auswertungen der An- und Abflughöhen wurden nur Flüge betrachtet, die durch die o.a. "Durchflugtore" geflogen sind, die o.g. Prüfkriterien 1 bis 3 erfüllt haben und am Frankfurter Flughafen (EDDF) gestartet oder gelandet sind.

Höhe (MSL) in [ft] bei BR18 und	April	Mai	Juni	
Mittelwert		7160	6912	6972
Standardfehler des Mittelwert	s	51	58	47
95% Konfidenzintervall des	Untergrenze	7059	6798	6879
Mittelwerts	Obergrenze	7260	7025	7066
5% getrimmtes Mittel		7177	6913	6988
Median		7354	7074	7015
Varianz		2505452	2190081	1923412
Standardabweichung		1583	1480	1387
Minimum			2671	3180
Maximum		12419	12417	11622
Spannweite		9830	9746	8442
Interquartilbereich		2098	1721	1500
Schiefe		-0,28	-0,12	-0,25
Kurtosis		-0,29	0,12	0,13
Anzahl Ereignisse:		953	654	853

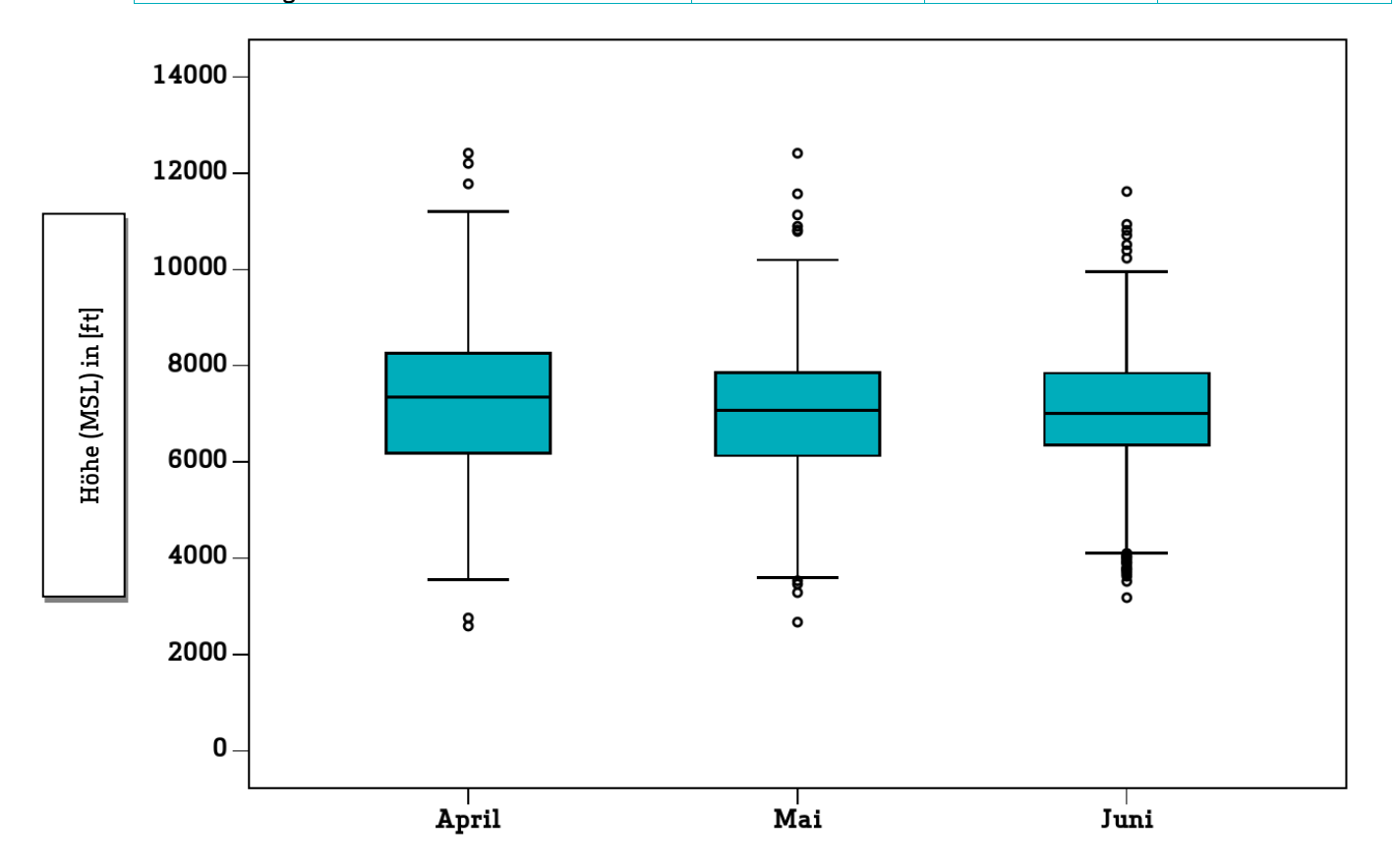


Abb. 6: Boxplots - Abflughöhen bei Betriebsrichtung 18 und 25

2.5 Anflughöhen bei Betriebsrichtung 07

Höhe (MSL) in [ft] bei BR07	April	Mai	Juni	
Mittelwert	7570	7662	7446	
Standardfehler des Mittelwer	ts	44	31	34
95% Konfidenzintervall des	Untergrenze	7483	7602	7378
Mittelwerts	Obergrenze	7657	7722	7514
5% getrimmtes Mittel		7571	7655	7436
Median		7641	7737	7520
Varianz		782100	668635	816264
Standardabweichung		884	818	903
Minimum		4357	4956	4761
Maximum		10829	11171	10665
Spannweite		6472	6215	5904
Interquartilbereich		1105	943	1165
Schiefe		-0,13	0,09	0,09
Kurtosis		1,34	1,65	0,72
Anzahl Ereignisse:	400	718	688	

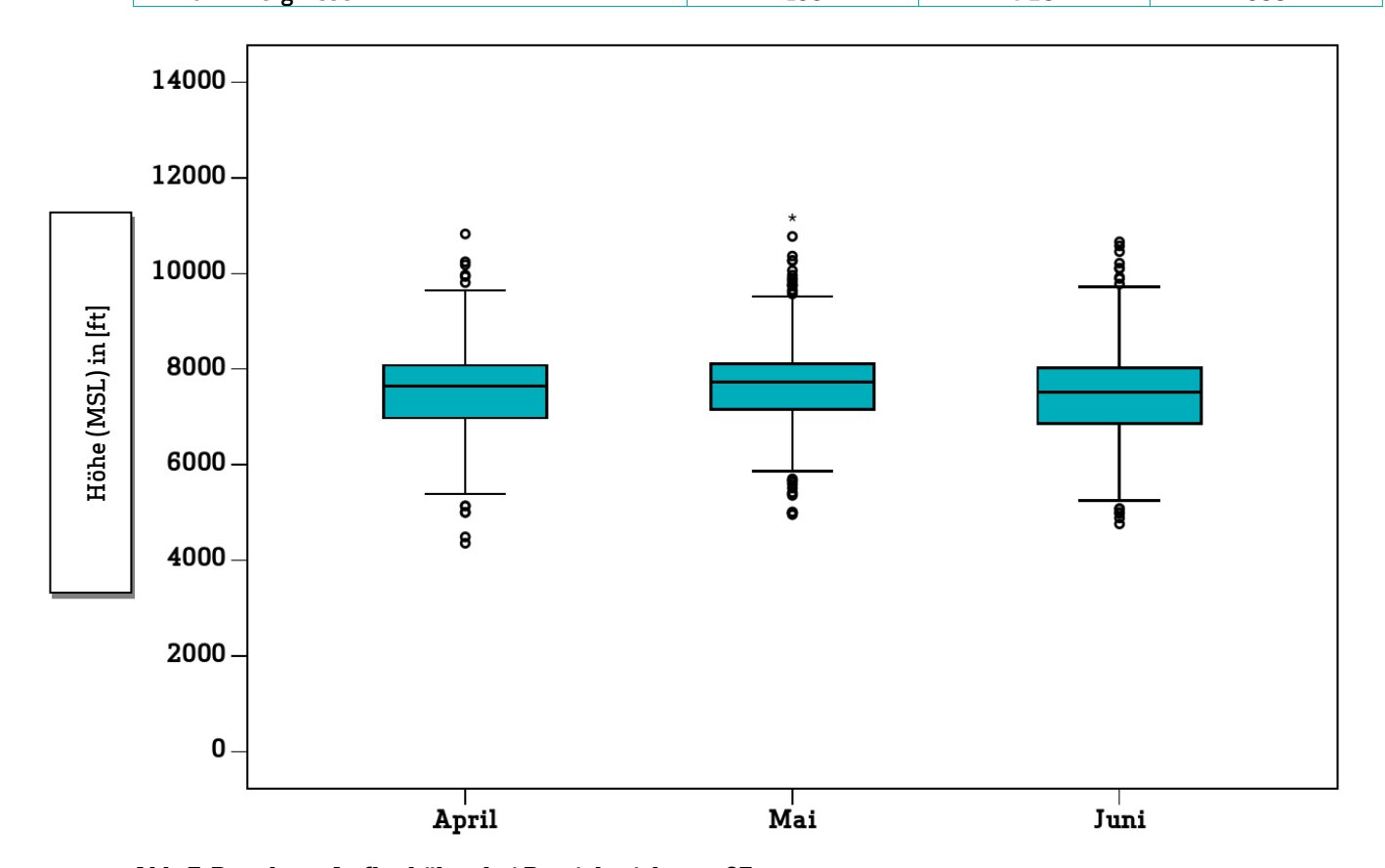


Abb. 7: Boxplots - Anflughöhen bei Betriebsrichtung 07

Auswertung der Fluggeräuschmessstation (MP-205)



3 Fluggeräuschereignisse

"Ereignisse" sind die von der Software der Station als Fluggeräuschereignis erkannten Pegel. Die Erkennung der Ereignisse basiert in Schritt 1 auf den Kriterien der DIN 45643, in Schritt 2 auf der Geräuschklassifikation der Firma deBAKOM (s. Anhang) und in Schritt 3 auf eine Korrelation mit den FANOMOS-Daten der DFS.

Die Tabelle zeigt die registrierten Fluggeräuschereignisse (Fluglärmereignisse) an der Station sowie die Anzahl der identifizierten Überflüge über die Station. Überflüge, die von der Station nicht als Ereignisse erkannt werden, sind in dieser Auswertung nicht enthalten.

	Anzahl de	Anzahl gesamt	
	Tag 06:00 - 22:00 Uhr	BR07 & BR18 & BR25	
April	1303	50	1353
Mai	1290 82		1372
Juni	1447	1541	

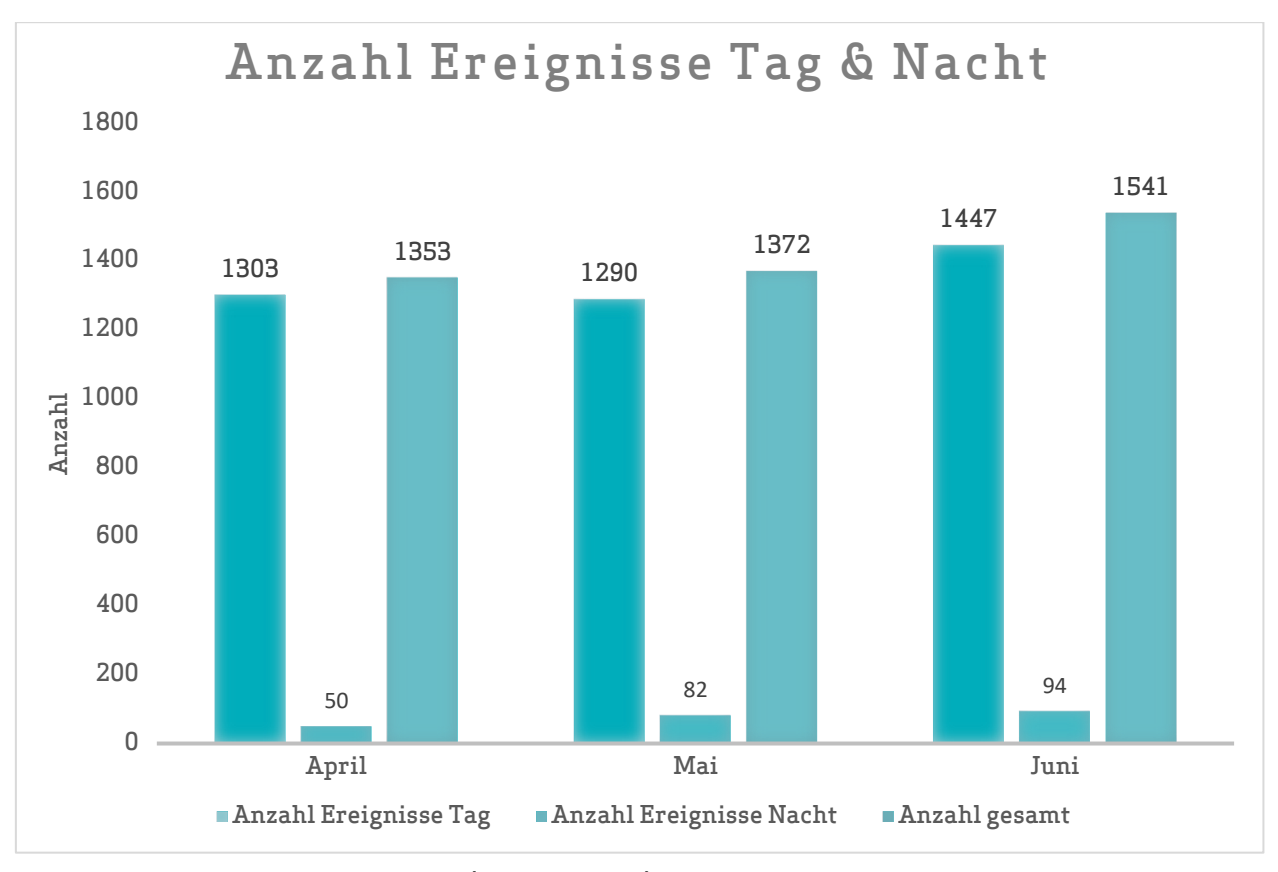


Abb. 8: Anzahl Fluggeräuschereignisse (Tag und Nacht)

4 Fluggeräuschpegel

4.1 Maximalpegelverteilung

Maximalpegelverteilung am Tag (06:00 bis 22:00 Uhr)

	55 – 60 dB(A)	60 - 65 dB(A)	65 - 70 dB(A)	70 - 75 dB(A)	75 - 80 dB(A)	80 - 85 dB(A)
April	338	637	167	138	23	0
Mai	476	568	145	90	11	0
Juni	521	659	163	88	15	1

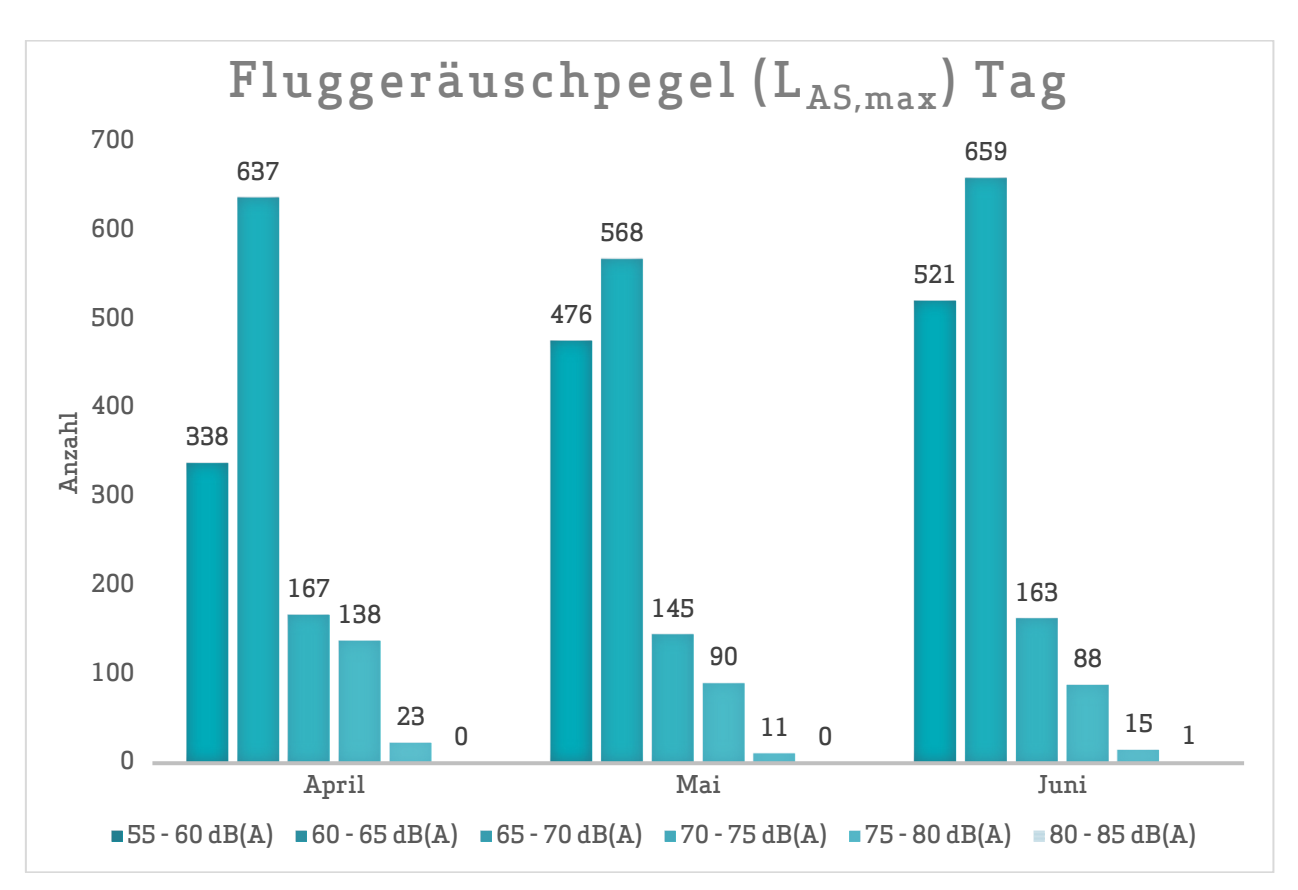


Abb. 9: Maximalpegelverteilung am Tag (Fluggeräusch)

${\tt Maximal pegel verteilung\ in\ der\ Nacht\ (22:00\ bis\ 06:00\ Uhr)}$

	55 – 60 dB(A)	60 - 65 dB(A)	65 - 70 dB(A)	70 - 75 dB(A)	75 – 80 dB(A)
April	19	28	2	0	1
Mai	32	40	6	3	1
Juni	48	43	2	1	0

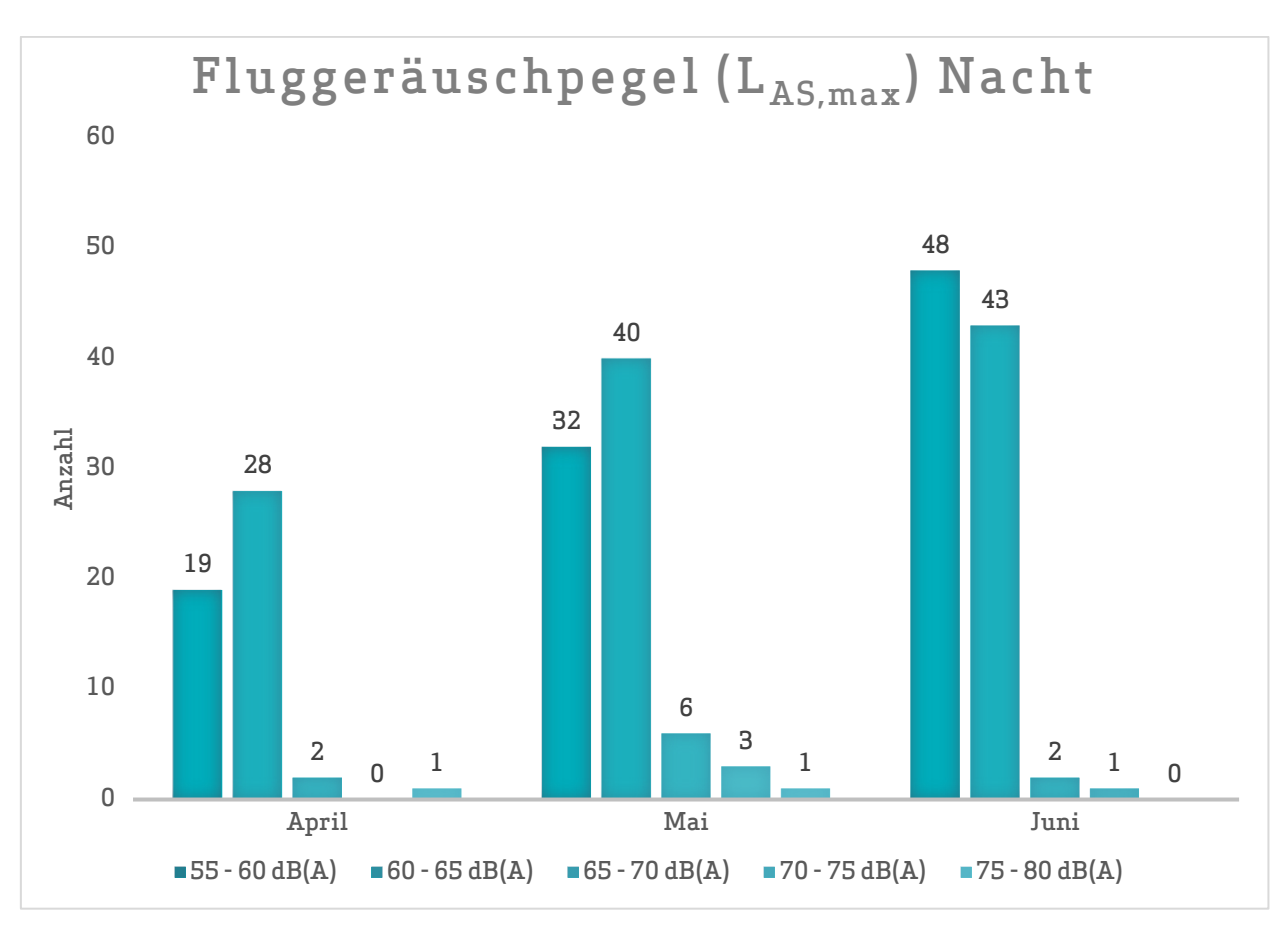


Abb. 10: Maximalpegelverteilung in der Nacht (Fluggeräusch)

4.2 Leq- und NAT-Auswertung

in dB(A)	$L_{\mathrm{DIN,T}}$	$L_{\mathrm{DIN,N}}$	NAT68*	NAT72*	$L_{\rm eq,T}$	$L_{ m eq,N}$	L _{95,T}	L _{95,N}
April	48,6	34,5	1	1	54,7	47,6	44,8	35,8
Mai	45,9	36,1	5	3	53,4	48,2	44,5	36,8
Juni	46,7	33,8	1	0	54,1	48,6	44,2	40,4



Abb. 11: L_{DIN} Tag und Nacht

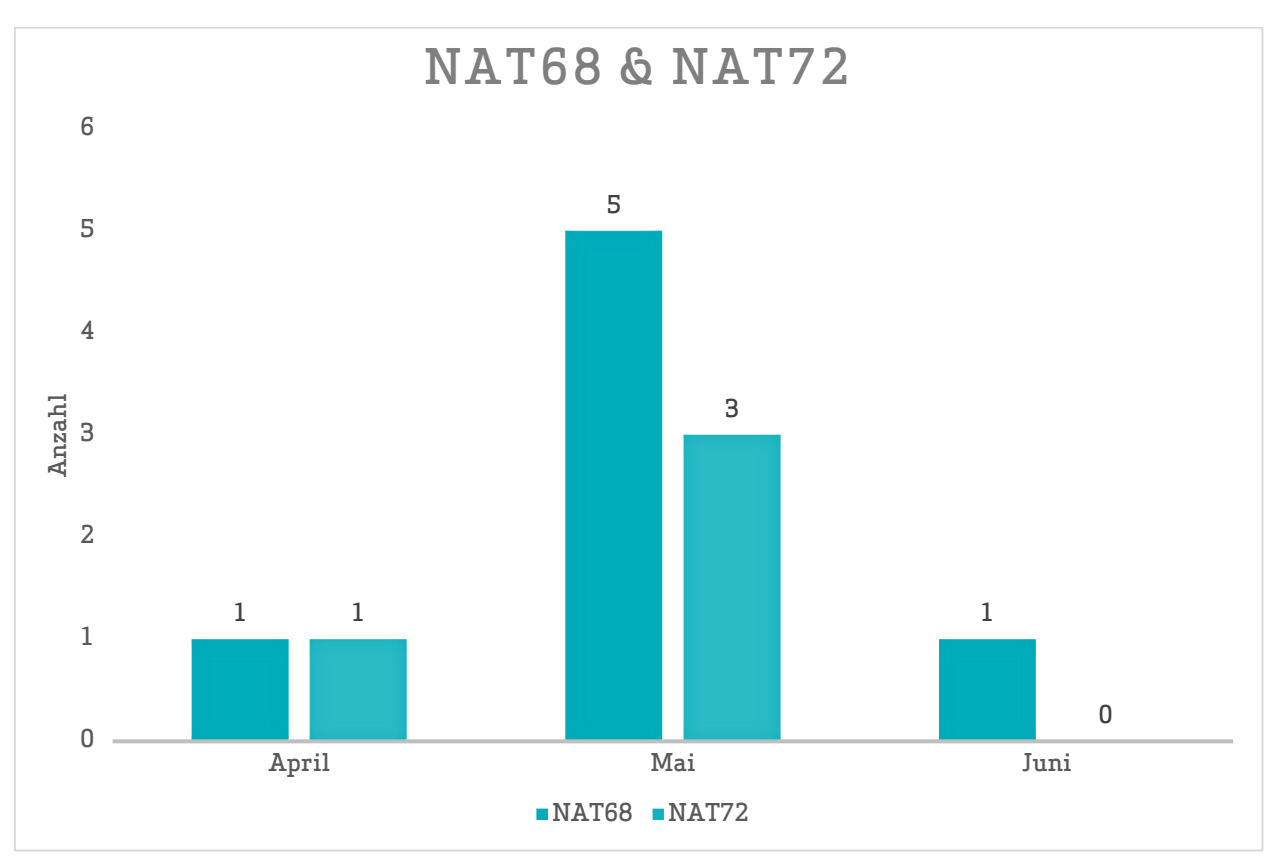


Abb. 12: NAT68 und NAT72

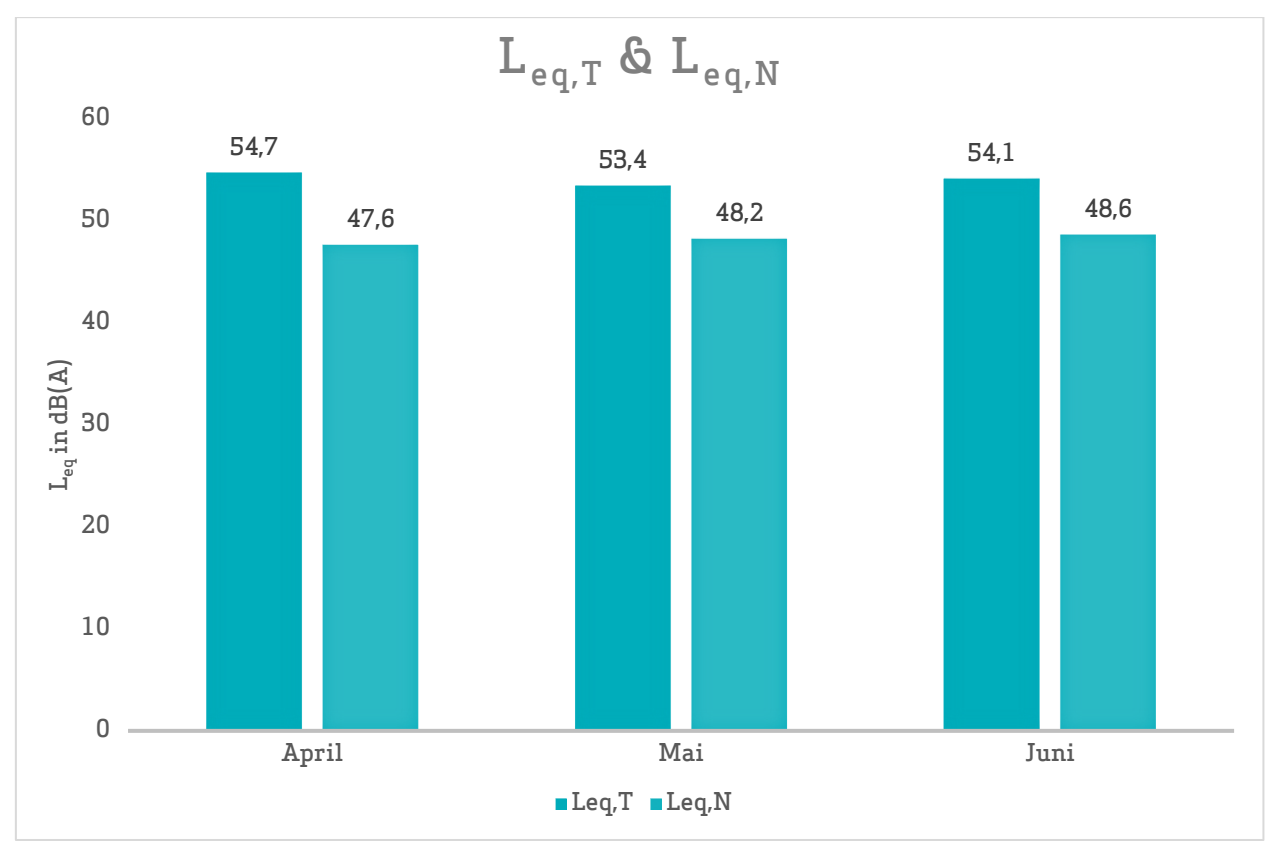


Abb. 13: L_{eq} Tag und Nacht

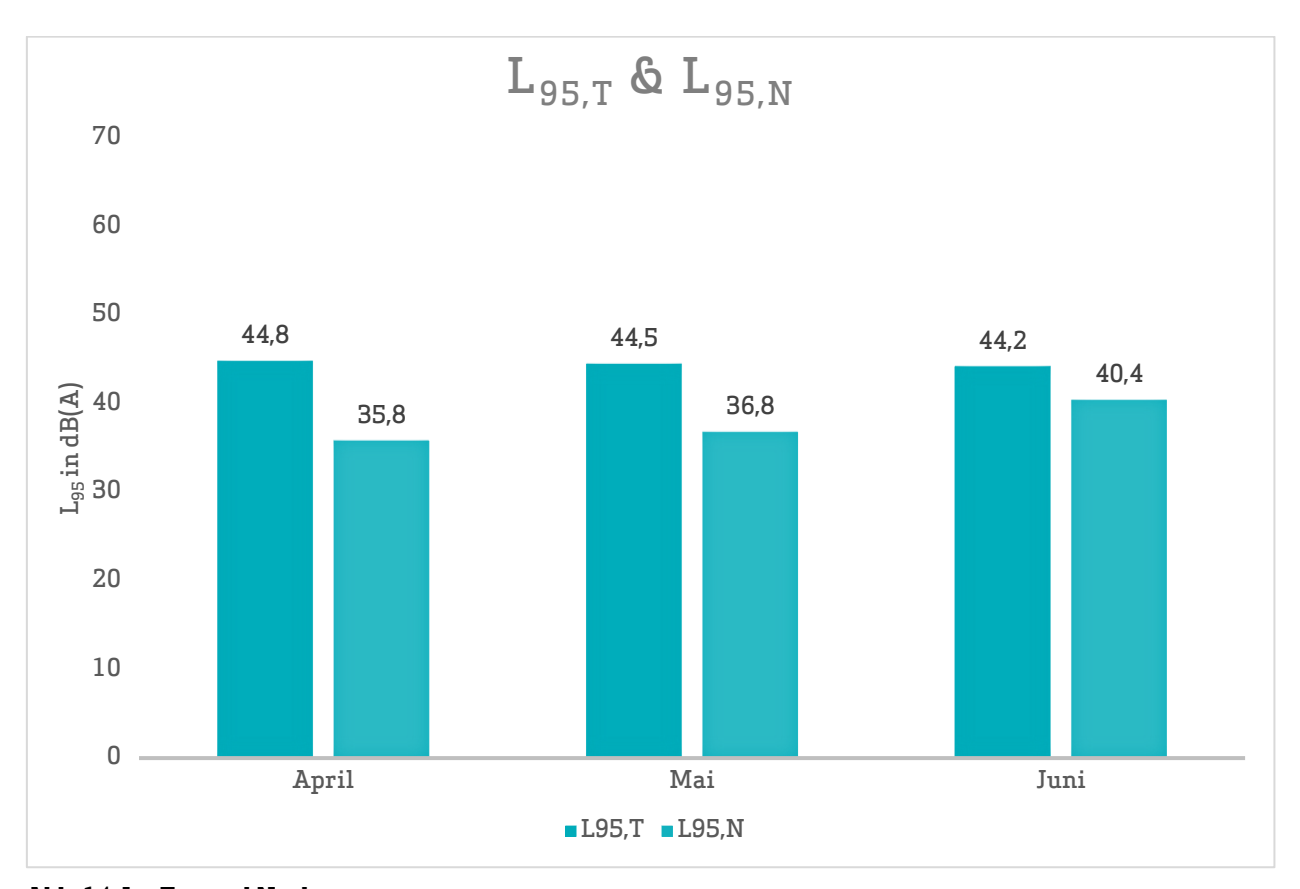


Abb. 14: L₉₅ Tag und Nacht

4.3 Jahresübersicht 2023

in dB(A)	$L_{DIN,T}$	$L_{\text{DIN,N}}$	NAT68*	NAT72*	$L_{\text{eq,T}}$	$L_{\rm eq,N}$	L _{95,T}	L _{95,N}
Januar	47,9	36,4	6	1	56,6	52,2	46,7	40,7
Februar	47,7	29,6	0	0	55,4	49,6	45,9	38,1
März	48,8	36,0	4	0	58,8	51,5	47,8	39,5
April	48,6	34,5	1	1	54,7	47,6	44,8	35,8
Mai	45,9	36,1	5	3	53,4	48,2	44,5	36,8
Juni	46,7	33,8	1	0	54,1	48,6	44,2	40,4
Juli								
August								
September								
Oktober								
November								
Dezember								

^{*} Hierbei handelt es sich um einen gemessenen Wert, der nicht nach Fluglärmschutzgesetz zur Definition von Fluglärmschutzzonen heranzuziehen ist.



Fluglärmmessung mit automatischer Geräuschklassifikation

D.Hemmer¹, D. Knauß², C. Pörschmann¹

¹ Fachhochschule Köln, 50679 Köln - e-mail: <u>dominic.hemmer@fh-koeln.de</u> ² deBAKOM GmbH, 51519 Odenthal

Einleitung

Bei der Messung von Flugzeuggeräuschen ist mit einer Beeinflussung des Fluglärmpegels durch verschiedene Fremdgeräusche zu rechnen. Zur Trennung dieser Ereignisse gibt es unter anderem die Möglichkeit der Klassifizierung durch Mustererkennung oder Korrelationsanalyse, die eine getrennte Betrachtung der auftretenden Schallereignisse ermöglicht. In der hier vorgestellten Untersuchung geht es in erster Linie um die Auswirkung verschiedener Erkennungsmethoden auf den Mittelungspegel und weniger um die Fehlerraten bei der Erkennung der Anzahl an Flugzeugen.

Vergleich zweier Methoden

Zur Geräuschidentifikation von Flugzeugen wurde an der Fachhochschule Köln ein Algorithmus entwickelt, mit dem es möglich ist, Flugzeuggeräusche zu identifizieren (Methode 1) [1]. Im Rahmen eines gemeinsamen Forschungsprojektes kann mit der Firma deBAKOM aus Odenthal der neu entwickelte Algorithmus getestet und mit dem vorhandenen Verfahren (Methode 2) der deBAKOM verglichen werden.

Methode 1

Die verwendete Musteranalyse arbeitet mit einem Vergleich mehrerer spektraler und temporaler akustischer Eigenschaften die als Merkmale zur Identifikation von Audiosignalen dienen. Untersuchungen mit verschiedenen akustischen Merkmalen zeigten [1], dass sich einige besonders gut zur Identifikation von Flugzeuggeräuschen eignen. Folgende Merkmale wurden zur Identifikation verwendet:

- spektraler Schwerpunkt
- kepstrale Wölbung und Schiefe
- Linear Predictive Coding: Schwerpunkt und Schwankung
- MFCC (Mel Frequency Cepstral Coefficients)

Die Verwendung von MFCC stellt sich als besonders günstig heraus. Werden bestimmte Koeffizienten der MFCC verwendet, so erhält man einen Merkmalsvektor, welcher eine gute Unterscheidung von Flugzeuggeräusche und anderen Geräuschsklassen ermöglicht.

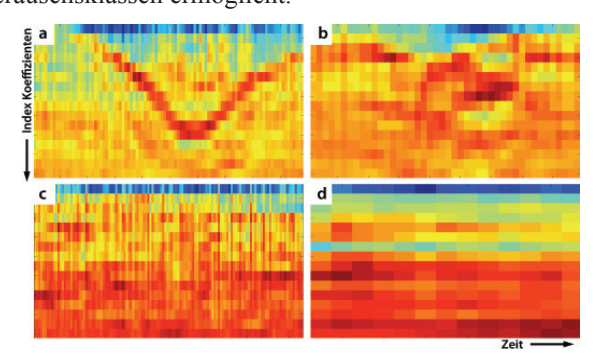


Abbildung 1: MFCC aus verschiedenen Klassen (a: Flugzeug, b: Auto, c: Zug, d: Hintergrund) – Dargestellt sind jeweils 18 Koeffizienten, aufgetragen über der Zeit.

Methode 2

Die derzeit in der Praxis eingesetzte Methode zur automatischen Erkennung von Fluglärm ist ein 3-stufiges Verfahren, das auf der spektralen Struktur und dem typischen zeitlichen Verlauf von Flugzeuggeräuschen, wie er z.B. in der DIN 45643 beschrieben ist, beruht. Die ersten beiden Stufen der Erkennung nutzen die spektrale Struktur des Fluglärms zur Identifikation. In der ersten Stufe erfolgt die Zuordnung anhand des Gesamtspektrums, während in der zweiten Stufe eine detailliertere Erkennung anhand einer Korrelationsanalyse mit Musterspektren erfolgt. Diese Musterspektren werden anhand von Audioaufzeichnungen aus für den Messort typischen Fluglärmereignissen erstellt.

Da die spektrale Struktur von Fluglärmgeräuschen stark variiert, d.h. auch vom jeweiligen Messort abhängig ist, ist eine individuelle Anpassung der Muster an den Messort erforderlich. Dies kann entweder vorab erfolgen, falls bereits Audiodaten vorliegen, oder die Zuordnung wird nach der Messung durchgeführt. In beiden Fällen erfolgt die Erkennung mit Stufe 1, die bereits eine gute Erkennung zulässt. Die Bestimmung des Fluglärmpegels erfolgt in der Regel ereignisorientiert, d.h. Fluglärm ist auf eine kurze Zeitspanne beschränkt. Diese Tatsache wird im dritten Teil der Fluglärmerkennung verwendet, indem aus dem Pegel-Zeitverlauf Ereignisse heraus gefiltert werden, die der typischen zeitlichen Struktur des Fluglärms am Messort entsprechen. Dies sind z.B. die Dauer des Ereignisses, die sogenannte t10-Zeit oder typische Pegelhöhen. Damit stehen für die Zuordnung zwei Kriterien zur Verfügung: Das Geräusch entspricht in seiner spektralen Struktur Fluglärm und die zeitliche Struktur entspricht den Fluglärmgeräuschen.

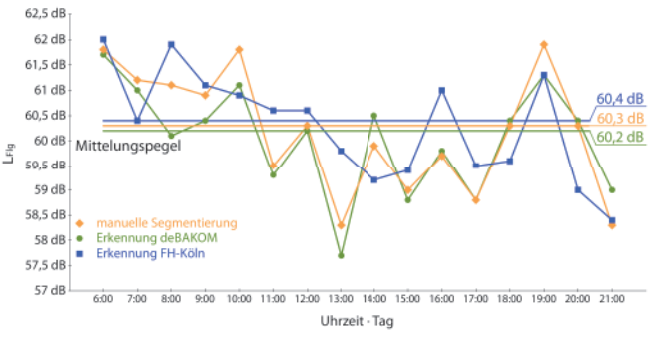
Beispiele aus der Praxis

Die Tabelle in Abbildung 2 zeigt ein Beispiel für die automatische Fluglärmerkennung. Das Messsystem wurde im August 2010 in Neu-Isenburg (Flughafen Frankfurt) eingerichtet. In der Tabelle sind die Pegelwerte sowie die Anzahl von Fluglärmereignissen in einem Erfassungszeitraum von 5 Monaten mit automatischer (deBAKOM) und manueller Auswertung dargestellt. Für den Monat August wurden dabei lediglich Stufe 1 und Stufe 3 der Erkennung eingesetzt. Ab September auch Stufe 2. Wie der Tabelle zu entnehmen ist, zeigen die Pegel der beiden Auswertungen nur geringe Abweichungen. Bei der Anzahl der zugeordneten Ereignisse hingegen ergeben sich größere Diskrepanzen, die vor allem durch Ereignisse mit kleinen Pegeln nahe der Schwelle verursacht werden.

		Ld dB(A)	Ln dB(A)	Anzahl Tag	Anzahl Nacht
August 2010	deBAKOM	59,7	53,9	10617	1390
	manuell	59,2	53,2	8623	1124
	Differenz	0,5	0,7	1994	266
September 2010	deBAKOM	60	53,6	12744	1583
	manuell	59,8	53,4	11175	1504
	Differenz	0,2	0,2	1569	79
Oktober 2010	deBAKOM	60,3	55,7	11994	1710
	manuell	60,1	55,4	11012	1649
	Differenz	0,2	0,3	982	61
November 2010	deBAKOM	60,2	55,4	11635	1514
	manuell	59,9	55,2	10544	1466
	Differenz	0,3	0,2	1091	48
Dezember 2010	deBAKOM	58,8	54,4	10013	1577
	manuell	58,8	54,3	9479	1529
	Differenz	0	0,1	534	48

Abbildung 2: Vergleich der Messungen in Neu-Isenburg zwischen manueller und automatischer Auswertung. Für September wurde eine Musteranpassung vorgenommen, die dazu führte, dass die Differenz zwischen automatischer und manueller Erkennung kleiner wird.

Im folgenden Beispiel befand sich die Messanlage im Unterschied zum vorigen Szenario direkt an der Straße, so dass die Pegelaufzeichnungen eine Mischung aus Straßenverkehr und Fluglärm darstellen. In der folgenden Grafik sind für 2 Tage die anhand verschiedener Verfahren ermittelten Fluglärmpegel, so wie der errechnete Mittelungspegel gegenübergestellt.



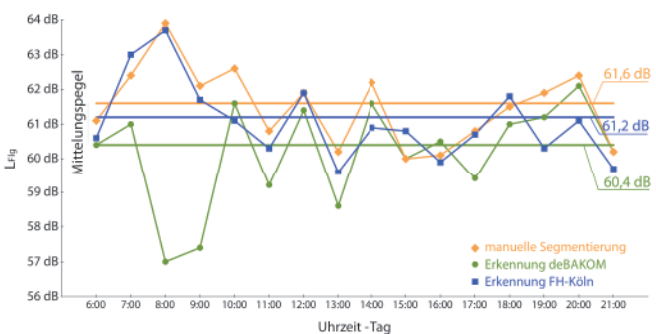
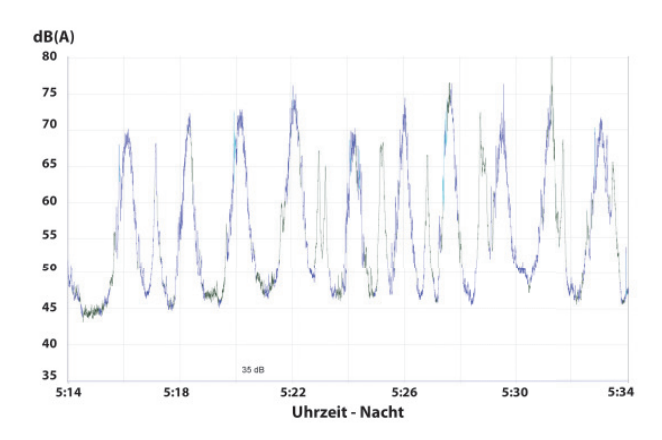


Abbildung 3: Auswertung der Messdaten. Vergleich von Methode 1, Methode 2 und manueller Auswertung. Oben: 23.10.08 (Tag ohne Regen) • Unten: 27.10.08 (Tag mit Regen). Ohne Regen ist die Abweichung der Mittelungspegel nur gering. Erhöht sich durch Regen jedoch das Hintergrundgeräusch, so wird die Erkennung schlechter und der Mittelungspegel weicht stärker ab.

Die folgenden Abbildungen zeigen den Pegel-Zeitverlauf für einen Zeitabschnitt mit wenig KFZ (5-6 Uhr) und einen Abschnitt mit deutlich mehr Fremdgeräuschen (15-16 Uhr). In Abbildung 4 (unten) ist deutlich zu erkennen, dass eine 'einfache' Zuordnung der Ereignisse – Fluglärm nicht mehr möglich ist.



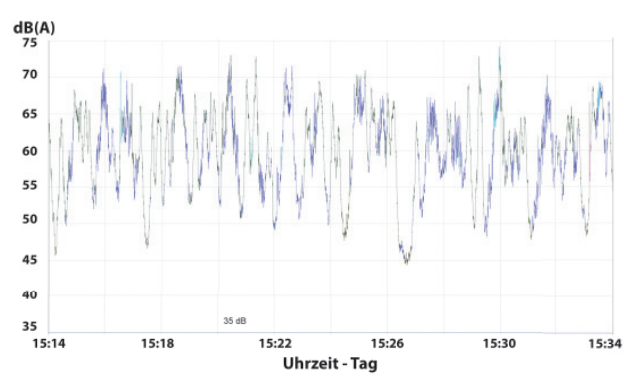


Abbildung 4: Pegelschrieb mit farblich markierter Erkennung der Klasse (blau: Flugzeug, grün: keine Erkennung) - Oben: Nacht • Unten: Tag

Diese Fluglärmereignisse sind auch manuell nicht ohne weiteres zu identifizieren, da es sich bei den Ereignissen um eine Mischung aus Fluglärm und anderen Lärmereignissen handelt. Dies ist mit ein Grund, weshalb in einzelnen Stunden zum Teil größere Abweichungen zwischen den Pegeln aus den drei Verfahren auftreten (Abb. 3). Da der Fluglärmpegel jedoch nicht auf Stundenbasis, sondern anhand eines Langzeitmittelungspegels über 6 Monate bestimmt wird, ist die automatische Erkennung geeignet, Fluglärmereignisse und deren Pegel zu ermitteln (Abb. 2).

Fazit

Bei dem Vergleich der vorgestellten Methoden sind nur geringe Abweichungen im Mittelungspegel zu beobachten. Betrachtet man den Pegel bei dem Vergleich der unterschiedlichen Methoden, so ergeben sich nur geringe Abweichungen beim Mittelungspegel. Allerdings gibt es eine größere Abweichung bei der Betrachtung der Anzahl der erkannten Ereignisse. Die Ursache für die Abweichung liegt maßgeblich an dem gleichzeitigen Auftreten verschiedener Geräuschklassen am Messort. Fluglärmerkennung ist jedoch nur ein Beispiel für die Mustererkennung. Die Verfahren sollen nicht nur für Fluglärm, sondern auch für andere Geräuschtypen (Straße, Bahn, Industrie etc.) eingesetzt werden.

Literatur

 D. Hemmer, C. Pörschmann (2010). Testsystem zum Vergleich verschiedener Parameter zur Verbesserung der Erkennungsleistung bei der Flugzeuggeräuschsidentifikation. In: Fortschritte der Akustik - DAGA 2010, DEGA e.V., D - Oldenburg, pp. 829-830